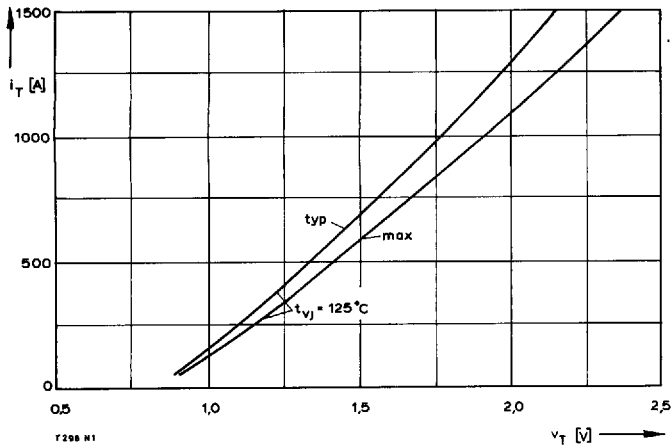
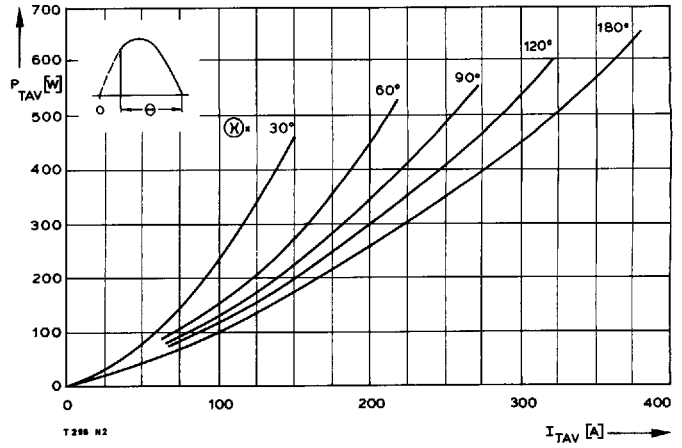


Typenreihe/Type range	T 298 N	400*	600	800	1000	1100	1200	1400
<b>Elektrische Eigenschaften</b>		<b>Electrical properties</b>						
<b>Höchstzulässige Werte</b>		<b>Maximum permissible values</b>						
$V_{DRM}, V_{RRM}$	Periodische Vorwärts- und Rückwärts-Sperrspannung						400...1400	V
$I_{TRMSM}$	Effektiver Durchlaßstrom						600	A
$I_{TAVM}$	Dauergrenzstrom						298	A
							382	A
$I_{TRM}$	Periodischer Spitzenstrom						3600	A
$I_{TSM}$	Stoßstrom-Grenzwert						4900	A
							4250	A
$\int i^2 dt$	Grenzlastintegral						120000	A <sup>2</sup> s
							90300	A <sup>2</sup> s
$(di/dt)_{cr}$	Kritische Stromsteilheit						800	A/μs
							150	A/μs
$(dv/dt)_{cr}$	Kritische Spannungssteilheit						400	V/μs
							1000	V/μs
<b>Charakteristische Werte</b>		<b>Characteristic values</b>						
$V_T$	Obere Durchlaßspannung						2	V
$V_{T(O)}$	Schleusenspannung						0,85	V
$r_T$	Ersatzwiderstand						0,9	mΩ
$V_{GT}$	Obere Zündspannung						2	V
$I_{GT}$	Oberer Zündstrom						150	mA
	Unterer Zündstrom						10	mA
$I_H$	Oberer Haltestrom						200	mA
$I_L$	Oberer Einraststrom						800	mA
$i_D, i_R$	Oberer Vorwärts- und Rückwärts-Sperrstrom						30	mA
$t_{gd}$	Oberer Zündverzög						3	μs
$t_q$	Typische Freiwerdezeit						200	μs
$C_{null}$	Typische Nullkapazität						3	nF
<b>Thermische Eigenschaften</b>		<b>Thermal properties</b>						
$R_{thJC}$	Innerer Wärmewiderstand für beidseitige Kühlung						≤ 0,088°C/W	
							≤ 0,082°C/W	
$R_{thJC(A)}$	für anodenseitige Kühlung						≤ 0,139°C/W	
							≤ 0,133°C/W	
$R_{thJC(K)}$	für kathodenseitige Kühlung						≤ 0,219°C/W	
							≤ 0,213°C/W	
$R_{thCK}$	Wärmewiderstand für einen Übergang zwischen Gehäuse und Kühlkörper						0,03	°C/W
$t_{vj max}$	Höchstzul. Sperrschichttemperatur						125°C	
$t_{vj op}$	Betriebstemperatur						- 40°C... +125°C	
$t_{stg}$	Lagertemperatur						- 40°C... +140°C	
<b>Mechanische Eigenschaften</b>		<b>Mechanical properties</b>						
G	Gewicht						70	g
F	Anpreßkraft						3...4,5	kN
	Maßbild						DIN 41814-151 A 4	Seite/page 240
	Kriechstrecke						17	mm
	Feuchteklasse						DIN 40040	C
	Schüttelfestigkeit						f = 50 Hz	5 x 9,81 m/s <sup>2</sup>

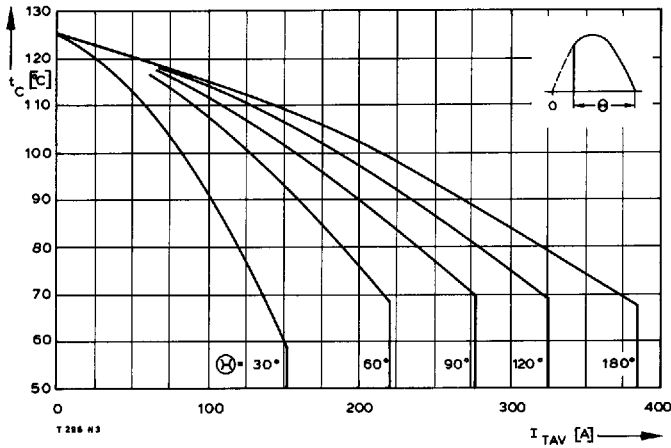
\* Für größere Stückzahlen bitte Liefertermin erfragen/Delivery for larger quantities on request



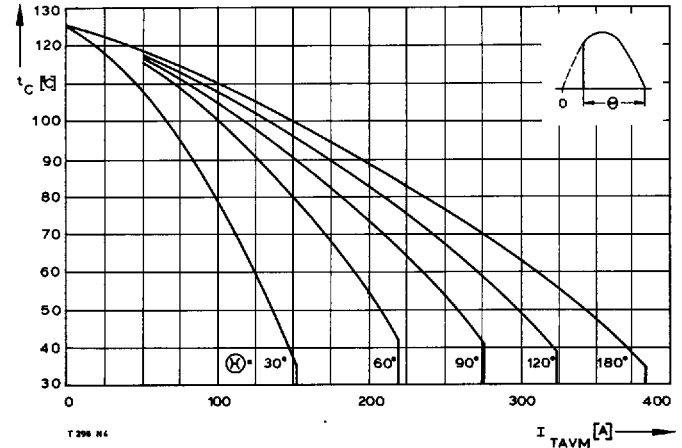
Bild/Fig. 1  
Durchlaßkennlinien  
On-state characteristics



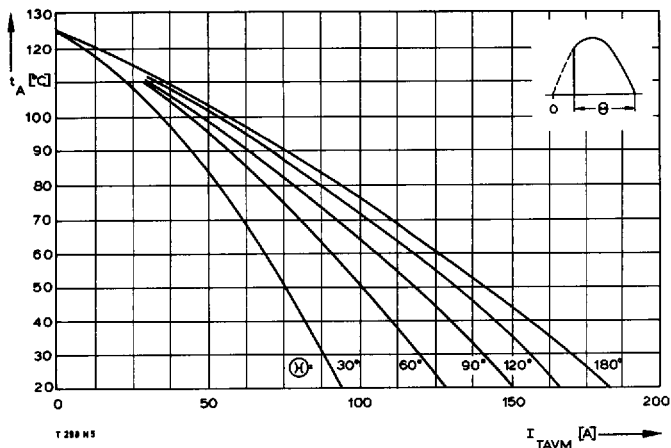
Bild/Fig. 2  
Durchlaßverlustleistung  $P_{TAV}$   
On-state power dissipation  $P_{TAV}$



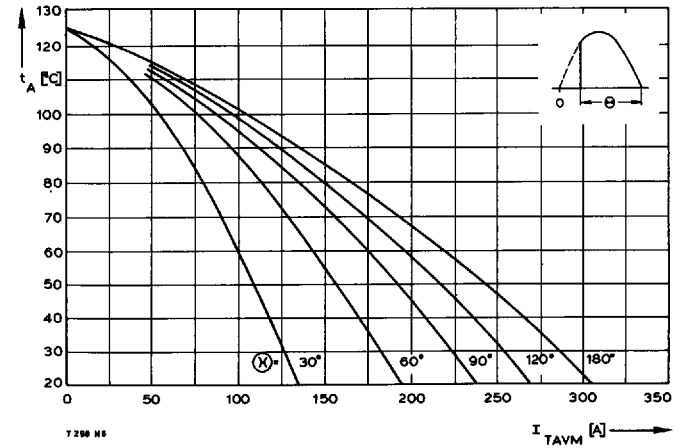
Bild/Fig. 3  
Höchstzulässige Gehäusetemperatur  $t_c$  bei **beidseitiger** Kühlung  
Maximum allowable case temperature  $t_c$  at **two-sided** cooling



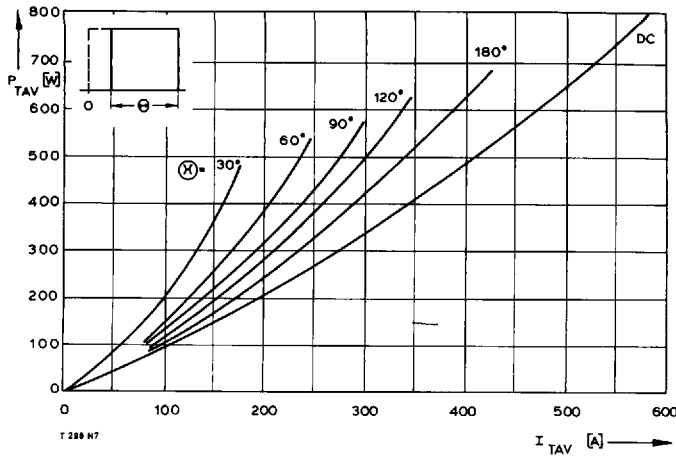
Bild/Fig. 4  
Höchstzulässige Gehäusetemperatur  $t_c$  bei **anodenseitiger** Kühlung  
Maximum allowable case temperature  $t_c$  at **anode-sided** cooling



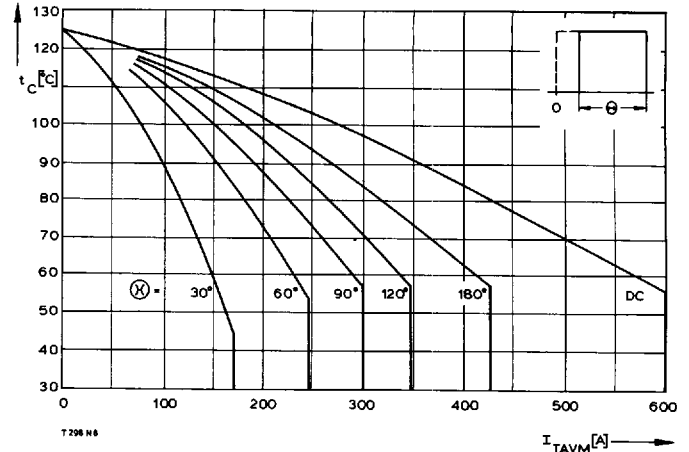
Bild/Fig. 5  
Höchstzulässige Kühlmitteltemperatur  $t_A$  bei **Luftselbstkühlung**,  
Kühlkörper K 0,36 S.  
Maximum allowable coolant temperature  $t_A$  at **natural air-cooling**,  
heatsink K 0.36 S.



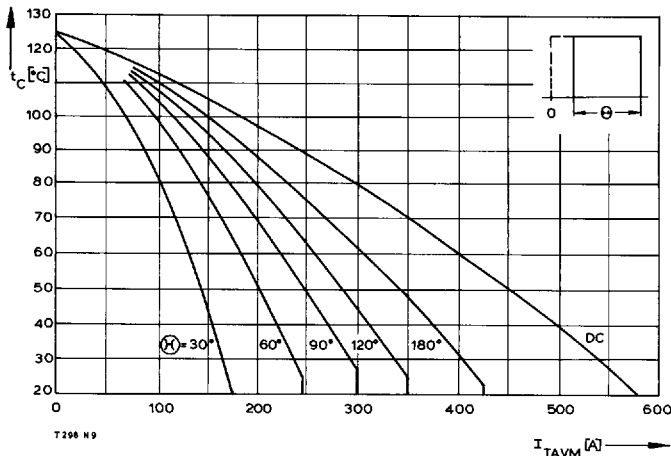
Bild/Fig. 6  
Höchstzulässige Kühlmitteltemperatur  $t_A$  bei **verstärkter Luftkühlung**,  
Kühlkörper K 0,12 F,  $V_L = 50$  l/s.  
Maximum allowable coolant temperature  $t_A$  at **forced air-cooling**,  
heatsink K 0.12 F,  $V_L = 50$  l/s.



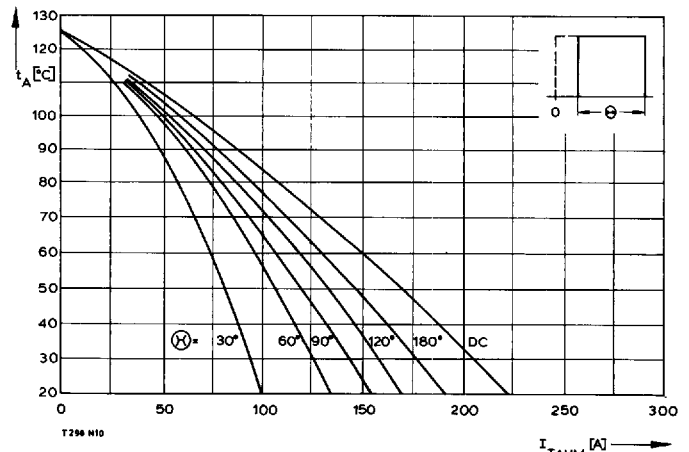
Bild/Fig. 7  
Durchlaßverlustleistung  $P_{TAV}$   
On-state power dissipation  $P_{TAV}$



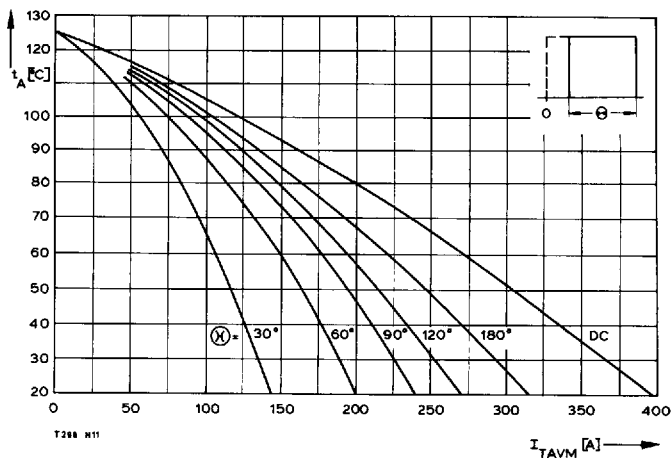
Bild/Fig. 8  
Höchstzulässige Gehäusetemperatur  $t_c$  für **beidseitige** Kühlung  
Maximum allowable case temperature  $t_c$  for **two-sided** cooling



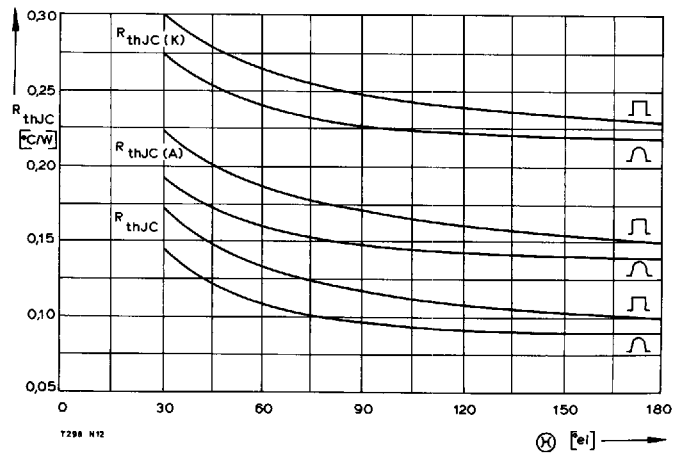
Bild/Fig. 9  
Höchstzulässige Gehäusetemperatur  $t_c$  für **anodenseitige** Kühlung  
Maximum allowable case temperature  $t_c$  at **anode-sided** cooling



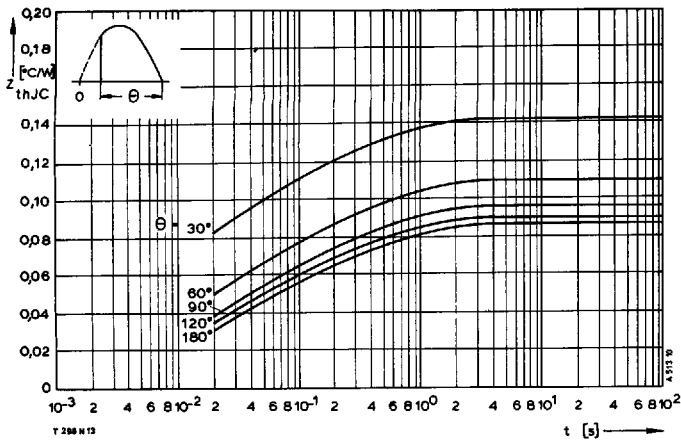
Bild/Fig. 10  
Höchstzulässige Kühlmitteltemperatur  $t_A$  bei **natürlicher** Kühlung,  
Kühlkörper **K 0,36 S**.  
Maximum allowable coolant temperature  $t_A$  at **natural air-cooling**,  
heatsink **K 0.36 S**.



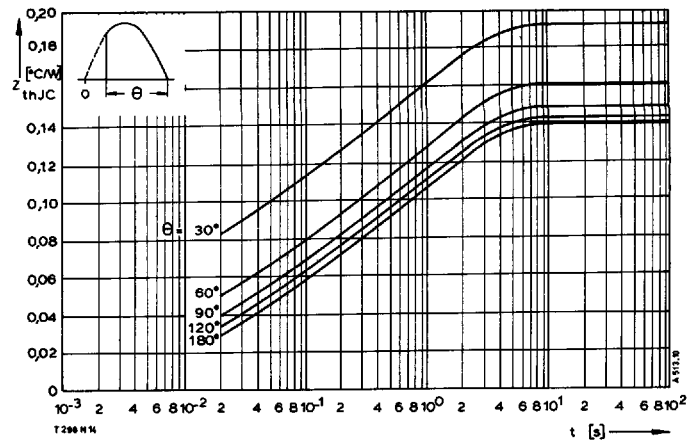
Bild/Fig. 11  
Höchstzulässige Kühlmitteltemperatur  $t_A$  bei **verstärkter Luftkühlung**,  
Kühlkörper **K 0,12 F**,  $V_L = 50$  l/s.  
Maximum allowable coolant temperature  $t_A$  at **forced air-cooling**,  
heatsink **K 0.12 F**,  $V_L = 50$  l/s.



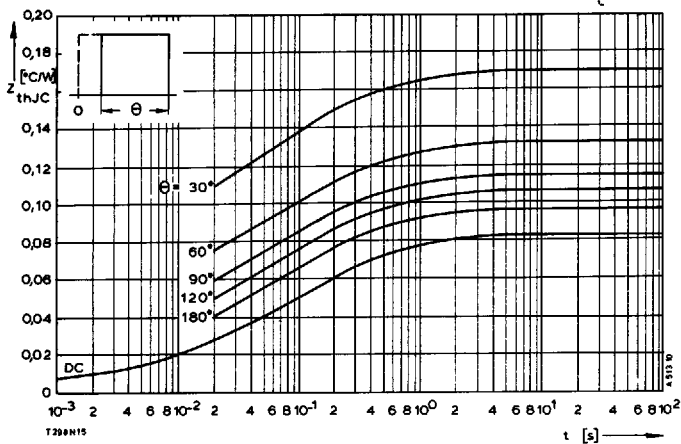
Bild/Fig. 12  
Innerer Wärmewiderstand  
Thermal resistance, junction to case  
 $R_{thJC}$  bei **beidseitiger** Kühlung  
 $R_{thJC}$  at **two-sided** cooling  
 $R_{thJC(A)}$  bei **anodenseitiger** Kühlung  
 $R_{thJC(A)}$  at **anode-sided** cooling  
 $R_{thJC(K)}$  bei **kathodenseitiger** Kühlung  
 $R_{thJC(K)}$  at **cathode-sided** cooling



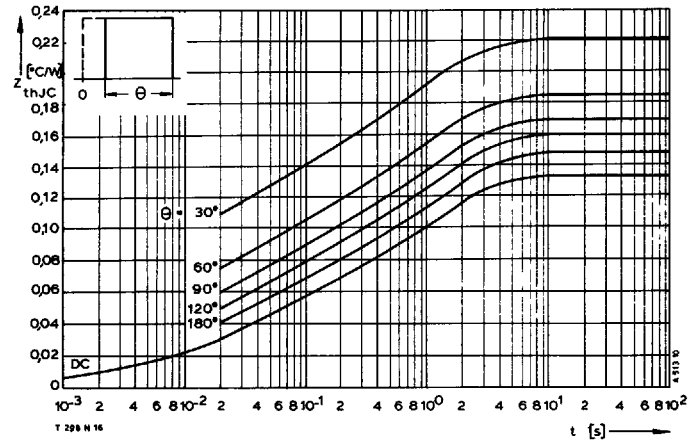
Bild/Fig. 13  
Transienter innerer Wärmewiderstand  $Z_{thJC}$  für **beidseitige** Kühlung  
Transient thermal impedance, junction to case,  $Z_{thJC}$  for **two-sided** cooling



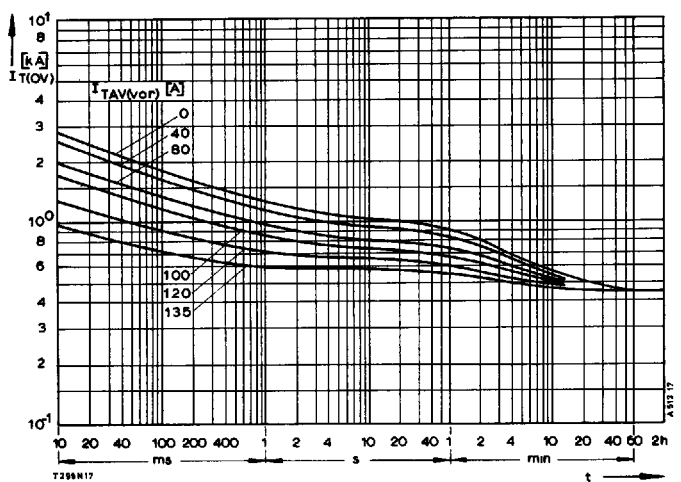
Bild/Fig. 14  
Transienter innerer Wärmewiderstand  $Z_{thJC(A)}$  für **anodenseitige** Kühlung  
Transient thermal impedance, junction to case,  $Z_{thJC(A)}$  for **anode-sided** cooling



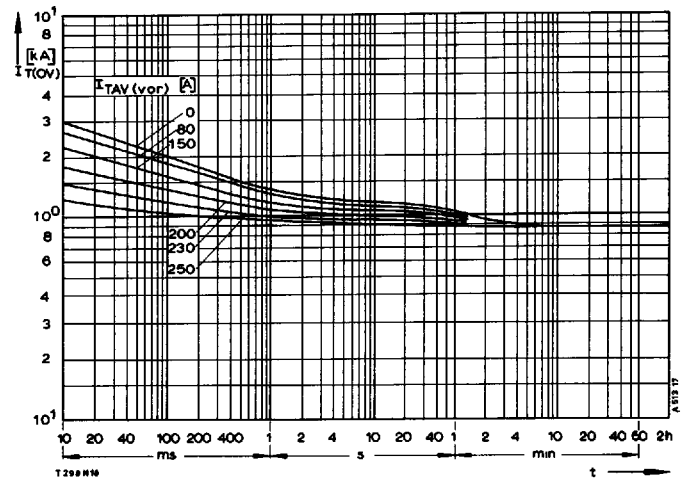
Bild/Fig. 15  
Transienter innerer Wärmewiderstand  $Z_{thJC}$  für **beidseitige** Kühlung  
Transient thermal impedance, junction to case,  $Z_{thJC}$  for **two-sided** cooling



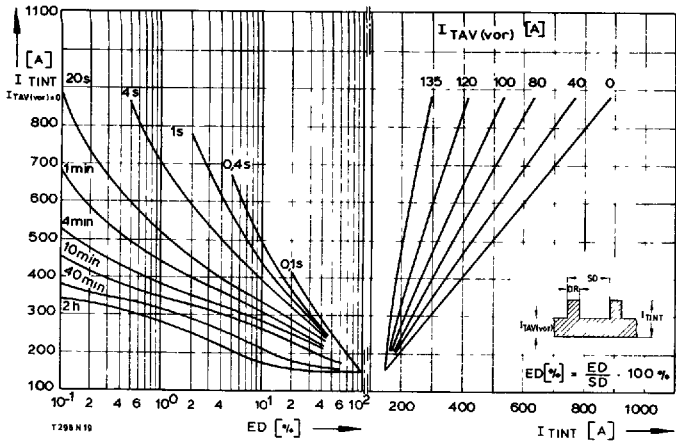
Bild/Fig. 16  
Transienter innerer Wärmewiderstand  $Z_{thJC(A)}$  für **anodenseitige** Kühlung  
Transient thermal impedance, junction to case,  $Z_{thJC(A)}$  for **anode-sided** cooling



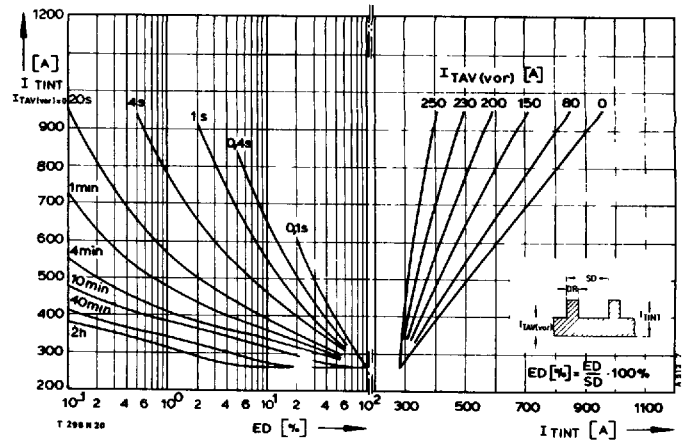
Bild/Fig. 17  
Überstrom  $I_{T(OV)}$  bei **Luftselbstkühlung**,  $t_A = 45^\circ\text{C}$ ,  
Kühlkörper **K 0,36 S**.  
Overload on-state current  $I_{T(OV)}$  at **natural air-cooling**,  $t_A = 45^\circ\text{C}$ ,  
heatsink **K 0,36 S**.  
Parameter: Vorlaststrom/pre-load current  $I_{TAV(VOR)}$



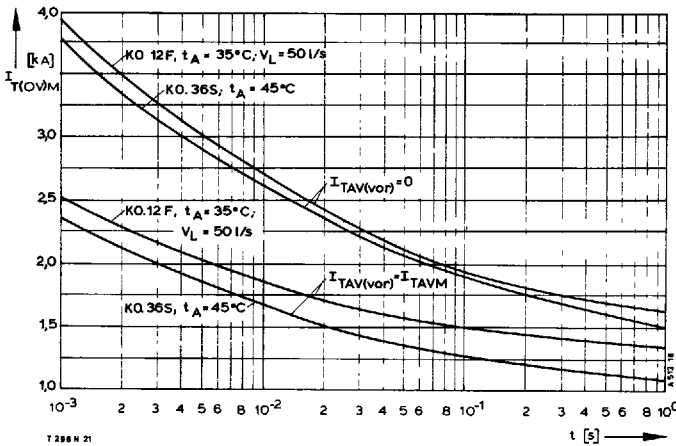
Bild/Fig. 18  
Überstrom  $I_{T(OV)}$  bei **verstärkter Luftkühlung**.  
Kühlkörper **K 0,12 F**,  $t_A = 35^\circ\text{C}$ ,  $V_L = 50$  l/s.  
Overload on-state current  $I_{T(OV)}$  at **forced air-cooling**,  
heatsink **K 0,12 F**,  $t_A = 35^\circ\text{C}$ ,  $V_L = 50$  l/s.  
Parameter: Vorlaststrom/pre-load current  $I_{TAV(VOR)}$



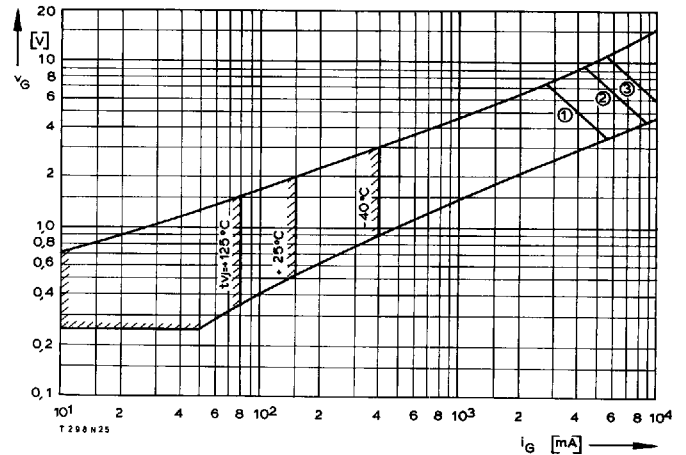
**Bild/Fig. 19**  
 Höchstzulässiger Durchlaßstrom  $I_{TINT}$  bei Aussetzbetrieb und **Luftselbstkühlung**, Kühlkörper **K 0,36 S**,  $t_A = 45^\circ\text{C}$ .  
 Maximum allowable on-state current in intermittent duty  $I_{TINT}$  at **natural air-cooling**, heatsink **K 0,36 S**,  $t_A = 45^\circ\text{C}$ .  
 Parameter: Spieldauer/circle duration SD  
 Vorlaststrom/pre-load current  $I_{TAV(VOR)}$



**Bild/Fig. 20**  
 Höchstzulässiger Durchlaßstrom  $I_{TINT}$  bei Aussetzbetrieb und **verstärkter Luftkühlung**, Kühlkörper **K 0,12 F**,  $t_A = 35^\circ\text{C}$ ,  $V_L = 50 \text{ l/s}$ .  
 Maximum allowable on-state current in intermittent duty  $I_{TINT}$  **forced air-cooling**, heatsink **K 0,12 F**,  $t_A = 35^\circ\text{C}$ ,  $V_L = 50 \text{ l/s}$ .  
 Parameter: Spieldauer/circle duration SD  
 Vorlaststrom/pre-load current  $I_{TAV(VOR)}$

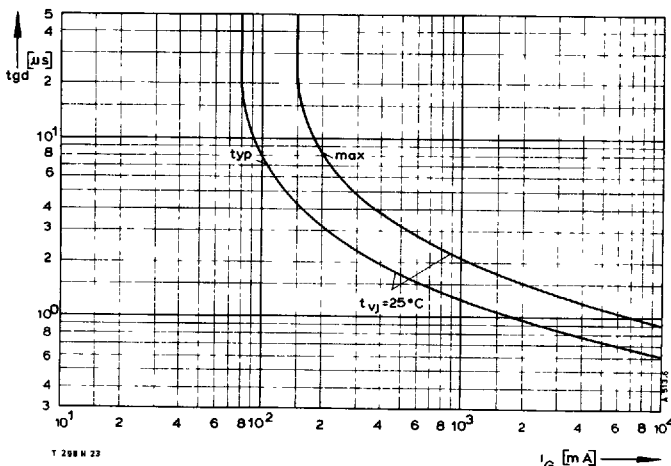


**Bild/Fig. 21**  
 Grenzstrom  $I_{T(OV)M}$  bei **beidseitiger** Kühlung, Kühlkörper **K 0,36 S** und **K 0,12 F**,  $U_{RM} = 0,8 U_{RRM}$ .  
 Maximum allowable overload on-state current  $I_{T(OV)M}$  at **two-sided cooling**, heatsink type **K 0,36 S** and **K 0,12 F**,  $U_{RM} = 0,8 U_{RRM}$ .  
 a - Belastung aus Leerlauf/current surge under no-load condition  
 b - Belastung nach Betrieb mit Dauergrenzstrom  $I_{TAVM}$ /current surge occurs during operation at maximum average on-state current  $I_{TAVM}$

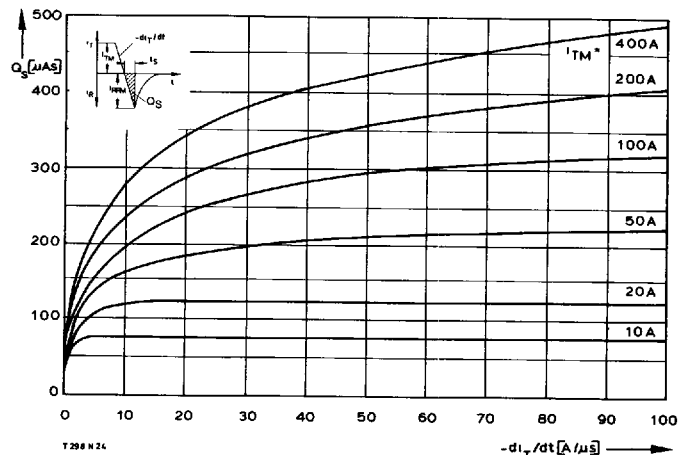


**Bild/Fig. 22**  
 Zündbereich und Spitzensteuerleistung bei  $v_D \geq 6 \text{ V}$ .  
 Gate characteristic and peak gate power dissipation at  $v_D \geq 6 \text{ V}$ .  
 Parameter:  

	1	2	3	
Steuerimpulsdauer/Pulse duration $t_g$	[ms]	10	1	0,5
Höchstzulässige Spitzensteuerleistung/Maximum allowable peak gate power	[W]	20	40	60



**Bild/Fig. 23**  
 Zündverzögerung  $t_{gd}$   
 Gate controlled delay time  $t_{gd}$



**Bild/Fig. 24**  
 Nachlaufladung  $Q_S$  in Abhängigkeit von der abkommutterenden Stromsteilheit  $-di/dt$  bei  $t_{vj, \text{max}}$ .  
 Lag charge  $Q_S$  versus the rate of decay of the forward on-state current  $-di/dt$  at  $t_{vj, \text{max}}$ .